

# ЭКСПЕРИМЕНТАЛЬНОЕ ИССЛЕДОВАНИЕ СХЛОПЫВАНИЯ ПУЧКА ПРИ САМОФОКУСИРОВКЕ В НЕЛИНЕЙНОЙ СРЕДЕ

*Г. А. Аскарьян, М. А. Мухамаджанов*

Исследован характер схлопывания луча в нелинейной керровской среде. По измеренному с помощью фотометрирования абсолютному распределению плотности прошедшей энергии при прохождении фокуса исследован характер особенности поля  $E \sim \frac{1}{|z - z_\phi|^a}$ . Получены значения

$a$  и сравнены с теориями. Показано, что размер фокуса может существенно отличаться от размера следа прохождения фокуса. Показано существование и оценена длина волноводной протяжки за движущимся фокусом, которая делает фокус фактически куском волновода.

При самофокусировке [1] (см. также обзоры [2, 3]) – самосжатии мощного луча в нелинейной среде – возможно образование фокусов [4, 5], размеры которых зависят от свойств среды, динамики и размеров луча. Однако, характер особенностей схлопывания поля  $E \sim \frac{1}{|z - z_\phi|^a}$  до сих пор не был экспериментально исследован. Более

того, вид формул [6 – 12] особенностей схлопывания у ряда авторов существенно отличаются один от другого. В данной работе впервые экспериментально исследован характер схлопывания по промеру плотности распределения энергии при прохождении луча, получена величина эффективного показателя схлопывания  $a$  и показано существование волноводной протяжки после фокуса.

1. Эксперимент был осуществлен с помощью луча одномодового одночастотного рубинового лазера с мощностью до 150 кВт при временной полуширине импульса 10 нсек. Луч с профилем, очень близким к гауссову фокусировался линзой с фокусом  $F = 50$  см (случай A), или с  $F = 10$  см (случай B) на свободную поверхность нелинейной среды (неполное заполнение вертикально расположенной кюветы [15]). В ка-

честве нелинейной среды был выбран нитробензол, глубина которого составляла в случае  $A$  — 10 см, в случае  $B$  — 1; 5 и 10 см. Начальный радиус луча при входе в среду по спаду интенсивности в  $e$  раз  $a_0 \approx \approx 50$  мкм ( $A$ ) и  $a_0 \approx 10$  мкм ( $B$ ), причем начальная дифракционная расходимость позволяла свести к случаю самофокусировки нефокусированного луча.

Излучение с торца кюветы фокусировалось с увеличением  $10 \times$  на пленку и почернение фотовизуировалось после еще 20-кратного увеличения изображения на пленке. Калибровка и фотометрирование почернения и измерение энергии производилось для одного и того же импульса.

В случае  $A$  сравнивалось контрольное почернение с интегралом от мощности падающего излучения, регистрируемого калиброванным измерительным фотоэлементом ФК-19. Его показания сопоставлялись сначала с показанием бокового ФЭК'а, регистрирующего отраженное излучение от стеклянной наклонной пластины, потом вместо калиброванного ФК-19 ставилась фотопленка, а мощность луча менялась ступенчатым ослабителем. Показания бокового ФЭК'а после интегрирования во времени сопоставлялись с почернением пленки. В случае  $B$  прошедшая энергия регистрировалась ФОГ'ом.

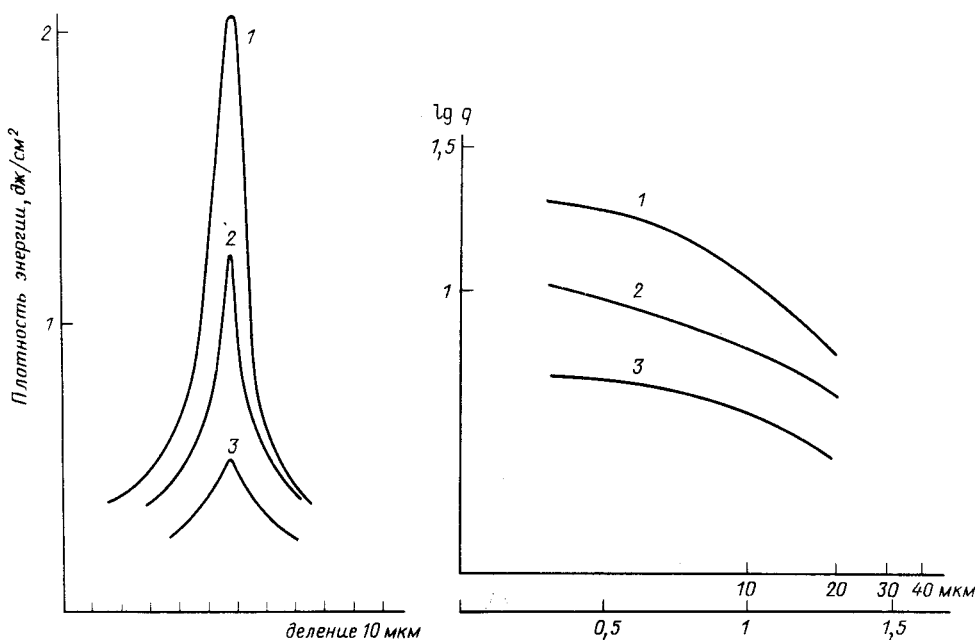


Рис. 1, А. Распределение плотности энергии по радиусу  $q(r)$  и  $\lg q$  ( $\lg r$ ) для  $a_0 = 50$  мкм,  $L = 10$  см; 1 —  $P = 20$  кВт, 2 —  $P = 70$  кВт, 3 —  $P = 130$  кВт

На рис. 1 даны зависимости абсолютной плотности энергии  $q$  (Дж/см<sup>2</sup>) от радиуса  $r$ : для случая  $A$  — рис. 1, А для случая  $B$  — рис. 1, Б. Зависимости даны в линейном и дважды логарифмическом масштабе.

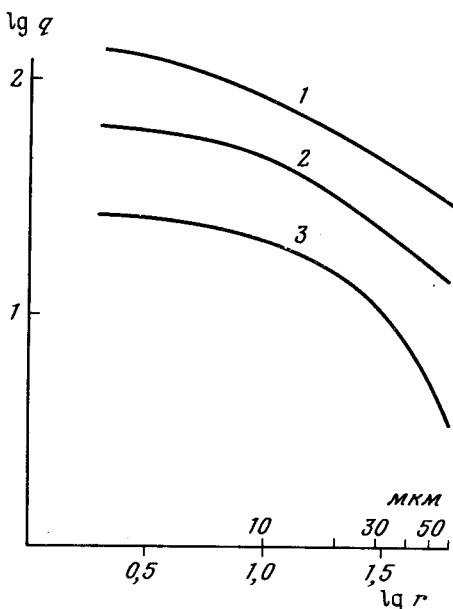
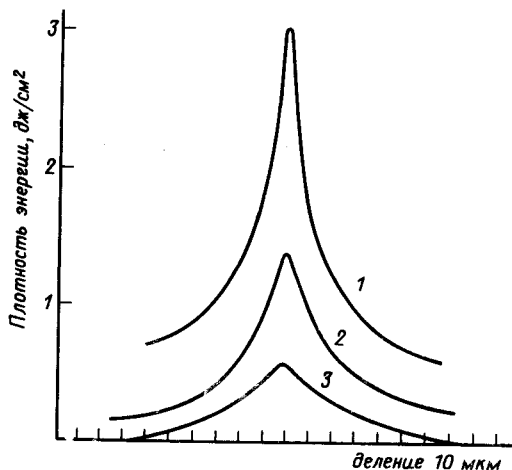


Рис. 1, Б. Распределение плотности энергии по радиусу  $q(r)$  и  $\lg q(\lg r)$  для  $a_0 = 10 \text{ мкм}$ ,  $P = 100 \text{ кВт}$ ; 1 —  $L = 1 \text{ см}$ ,  $L = 5 \text{ см}$ , 3 —  $L = 10 \text{ см}$

2. Моделирование схлопывания луча было проведено для анализа экспериментальных данных и определения параметров схлопывания.

1. При сильном сжатии пучка, когда  $a_\Phi \ll a_0$  (что имело место

для случая  $F = 50 \text{ см}$ )  $a \approx a_\Phi \left(1 + \frac{|z - z_\Phi|}{\Delta}\right)^a$ , где  $a_\Phi$  — минимальный размер в фокусе. Тогда плотность потока  $I \approx \frac{P}{\pi a^2} f^2 \left[\frac{r}{a}\right]$ ,

$f$  — функция, характеризующая радиальное распределение поля (функция, напоминающая гауссову). Задавая движение фокуса со скоростью  $v_\Phi$  (она мало меняется при пересечении фокусом плоскости наблюдения) получим для плотности энергии:

$$q \approx \int I dt \approx \int I \frac{dz_\Phi}{v_\Phi} = \frac{1}{a} \frac{P}{\pi a_\Phi} \frac{\Delta}{v_\Phi} \left(\frac{a_\Phi}{r}\right)^{2-1/a} \int_0^{r/a_\Phi} f^2(\xi) \frac{d\xi}{\xi^{1/a-1}};$$

где  $\xi = \frac{r}{a \Phi \left(1 + \frac{x}{\Delta}\right)^\alpha}$  и  $\alpha > \frac{1}{2}$ . (В случае  $a = \frac{1}{2}$ ,  $q \sim \ln r$ ; т. е.

$$q'_r \sim -\frac{1}{r}.$$

Из вида функции  $q(r)$  и сравнения с экспериментом можно определить  $a$  и  $a_\Phi$ ; а) для  $r \gg a_\Phi$ , получим  $q \sim \frac{1}{r^{2-1/\alpha}}$ ; т. е.  $2 - 1/\alpha =$

$$= \frac{d \lg q}{d \lg r}; б) зная  $a$  можно оценить  $a_\Phi$  из условия спада функции  $\Phi =$$$

$$= r^{1/\alpha - 1} \frac{d}{dr} q r^{2-1/\alpha} = r q'_r + \left(2 - \frac{1}{\alpha}\right) q \sim f^2 \left(\frac{r}{a}\right);$$

спад  $\Phi$  в  $e^2$  раз характеризует  $a_\Phi$ ; в) из величины  $q(r=0) = P\Delta / [\pi a_\Phi^2 v_\Phi (2a - 1)]$  можно оценить параметр  $\Delta$ , т. е. величину "протяжки" фокуса  $l_\Phi \approx 2\Delta(e^{1/\alpha} - 1)$  (по спаду  $I(r)$  в  $e^2$  раз). Так были обсчитаны результаты случая А ( $a_0 = 50$  мкм,  $L = 10$  см) и для  $P = 20, 70$  и  $130$  кВт получены соответственно величины  $a = 0,85; 0,67; 0,67$ ;  $a_\Phi = 6; 12$ ;  $12$  мкм и  $l_\Phi = 2,8; 1,4; 0,57$  см (что почти на порядок превышает френелевские длины).

2. При малом сжатии луча ( $a \sim a_0$ ) (при  $F = 10$  см) предыдущая экстраполяция может быть не применима. Полагая, например, в безаберрационном случае  $a^2 = a_0^2 + A[P_{\text{кр}} - P(t)]z^2$ , что при  $P > P_{\text{кр}}$  дает  $a^2 = a_0^2 \left(1 - \frac{z^2}{z_\Phi^2}\right)$ , т. е. только при  $z - z_\Phi \ll z_\Phi$  получим  $a \sim (z - z_\Phi)^\alpha$ ,

причем в этом случае  $\alpha \approx 1/2$ . Поскольку, в случае Б рассматривается  $r \geq a_0$ , то почернение пленки может быть связано с дофокусной стадией. Полагая  $I = \frac{P(t)}{\pi a^2(t)}$  и  $q = \int_0^r I dt$ , где  $t_r$  — момент времени

прохождения конуса излучения через точку приема, определяемый из условия  $a^2 = r^2 = a_0^2 + A[P_{\text{кр}} - P(t_r)]z^2$  и полагая для простоты, что интересующее нас почернение происходит на квазилинейной части частотания мощности  $P(t) = \dot{P}t$  получим:  $q \sim \left(\frac{r^2}{a_D^2} - \ln \frac{r^2 e}{a_D^2}\right)$ , где  $a_D^2 =$

$$= a_0^2 + z^2 \theta_D^2, \quad a_D — размер дифракционно уширенного луча на расстоянии  $z$ .$$

При  $r^2/a_D^2 \ll 1$ , что заведомо выполняется как в случае А, так и в случае Б, получим, что  $q \sim -\ln\{r^2 e/a_D^2\}$  или  $q'_r \sim r_D/r$ , т. е.  $\ln|q'_r| \sim -\ln r$ . Отметим, что эта зависимость справедлива и при  $r \leq a_0$ , так как единственным условием приближения было  $r \ll a_D$ . Поэтому по резкому изменению наклона зависимости  $\ln|q'_r|$  от  $|\ln r|$  можно оценить величину  $a_\Phi$ , характеризующую конечные поперечные размеры фокуса. По данным  $a_\Phi$  можно определить эффективную длину "фокуса"  $l_\Phi$ , на которой интенсивность падает в  $e^2$  раз, из выражения

$$q(0) = \frac{P}{\pi a_\Phi^2} \frac{l_\Phi}{v_\Phi}. \quad \text{Так были обсчитаны результаты случая Б } (a_0 =$$

= 10 мкм) и получены величины: для  $P = 40$  кВт —  $a_\Phi = 12$  и  $16$  мкм и

$l_{\phi} = 2,5$  и  $4,3$  см для  $L = 5$  и  $10$  см соответственно и для  $P = 100 \text{ кВ} - a_{\phi} = 6; 12; 30 \text{ мкм}$  и  $l_{\phi} = 0,17; 1; 3,5 \text{ см}$  для  $L = 1, 5$  и  $10 \text{ см}$  соответственно. Все  $l_{\phi}$  на порядок превосходят френелевские длины. Объяснение длины "фокуса" не как протяжки, а как каустики не проходит, так как в случае каустики в каждое сечение фокусируется малая часть мощности участка пучка, что при заданном почернении и радиусе еще более удлиняет "фокус".

При оценках использованы минимальные значения скорости пересечения фокусом плоскости наблюдения (в большинстве случаев место образования фокусов лежит внутри кюветы  $z_{\text{обр}} < L$ ).

В формулу для  $q$  подставлена полная мощность  $P$ , так как в случае если в фокус входит только  $P_{\text{кр}}$ , для полного  $q$  необходимо умножить на число фокусов  $\nu = P/P_{\text{кр}}$ , т. е. все равно  $q \sim P$ .

Из данных, приведенных выше видно:

а) показатель  $a$  в большинстве случаев близко к  $2/3$ ;

б) величина  $a_{\phi}$  существенно меньше размера  $a_{q/e}$ , оцененного по спаду  $q$  в  $e$  раз;

в) длина "фокуса" во много раз превышает френелевскую длину  $l_{\phi}$ . Это свидетельствует о том, что наблюдаемый фокус является отрезком волновода, причем длина волновода  $l_{\phi}$  определяется релаксацией нелинейности [13], т. е. путем, проходимым фокусом за время релаксации  $t \approx v_{\phi} \tau_{\text{рел}}$ , где  $\tau_{\text{рел}} = 5 \cdot 10^{-11}$  сек для нитробензола.

По данным теорий особенность схлопывания имеет степень  $a = 1/4$  [6]  $a = 2/3$  [8] (по-видимому, вывод некорректен)  $a = 1/2$  [7],  $a = 1$  [12] и вид  $E \sim \left( \frac{|\ln x|}{x} \right)^{\frac{1}{2}}$  [11], где  $x = z - z_{\phi}$  в безразмерных величинах.

Для удобства сравнения последнюю функцию запишем в виде  $\left( \frac{|\ln x|}{x} \right)^{\frac{1}{2}} \sim \frac{1}{x^a(x)}$ , откуда получим  $a = \frac{1}{2} + \frac{\lg |\ln x|}{2 \lg x} \approx \frac{2}{3}$  в интере-

сующем нас диапазоне  $x \approx 10^{-2} \div 10^{-3}$ . Именно около этой величины  $a = 2/3$  ложатся экспериментальные данные в случае А, когда сжатие луча сильное  $a \ll a_0 \approx 50 \text{ мкм}$  (отметим, что  $a = a(x)$  и меняется от  $1/2$  до  $1/2$  при  $x \in 10 \div \infty$  со слабым максимумом  $a_m = 0,7$  при  $x = 10^{-e}$ ).

В случае Б для  $L = 5 \div 10 \text{ см}$ ,  $a_{\phi} \approx a_0 = 10 \text{ мкм}$ , т. е. при малых начальных размерах луча схлопывание практически отсутствует. Поэтому, в частности, можно утверждать, что в первых экспериментах по самофокусировке луча в жидкости [14] нити из фокуса представляли собой отрезки волноводов.

Физический институт  
им. П.Н.Лебедева  
Академии наук СССР

Поступила в редакцию  
19 января 1979 г.

## Литература

- [1] Г.А.Аскарьян. ЖЭТФ, 42, 1567, 1962.
- [2] С.А.Ахманов, А.Н.Сухоруков, Р.В.Хохлов. УФН, 93, 19, 1967.
- [3] Г.А.Аскарьян. УФН, 111, 249, 1973.

- [4] P.L. Kelley. Phys. Rev. Lett., 15, 1005, 1965.
  - [5] M.M.T. Loy, Y.R. Shen. IEEE. J. QE-9, 409, 1973.
  - [6] E.L. Dawes, J.H. Marburger. Phys. Rev., 179, 862, 1969.
  - [7] В.Н.Луговой, А.М.Прохоров. УФН, 111, 203, 1973.
  - [8] В.Е.Захаров, В.С.Сынах. ЖЭТФ, 68, 940, 1975.
  - [9] Т.А.Горбушина, Л.М.Дегтярев, В.В.Крылов. Препринт ИПМ, №51, 1976.
  - [10] Л.М.Дегтярев, В.В.Крылов. ЖВМ и МФ, 17, 1523, 1977.
  - [11] С.Н.Власов, Л.В.Пискунова, В.И.Таланов. ЖЭТФ, 75, 1602, 1978.
  - [12] Г.М.Фрайман. Автореферат диссертации, М., ФИ АН СССР, 1976.
  - [13] В.А.Петрищев, В.И.Таланов. Сб. Квантовая электроника. М., изд. Советское радио, №6, 35, 1971.
  - [14] Н.Ф.Пилипецкий, А.Р.Рустамов. Письма в ЖЭТФ, 2, 88, 1965.
  - [15] Г.А.Аскарьян, Х.А.Диянов, М.А.Мухамаджанов. Письма в ЖЭТФ, 14, 452, 1971.
-